

Atkı Örgülerinin Relaksasyon Doğruları

Arif KURBAK

Y. Doç. Dr.

Ege Üniv. Müh. Fak. Tek. Müh. Böl. İZMİR

Tek katlı örgü olan düz örgüde, çift katlı dengeli ve dengesiz 16 çeşit rib örgüde, ilmikleri düzlemsel olan haroşa örgüde ve örme sistemi farklı olan "Presser-foot" (baskı ayağı) 1x1 rib örgüsünde olmak üzere toplam 19 çeşit atkı örgüsünde gösterildiği gibi, atkı örgülerinin tümünde sıra açıkları (C) ile ilmik uzunlukları (λ) arasında ($\lambda - \lambda_{c_0}$) / ($C - C_0$) = K_c ve çubuk açıklıkları (W) ile ilmik uzunlukları (λ) arasında ($\lambda - \lambda_{w_0}$) / ($W - W_0$) = K_w regresyon denklemi yazılabılır. Bu yeni bağıntılar, Munden'in 1959'da verdiği ve ilmik boyutlarını hatalı hesapladığı bildiği halde alternatif olmadığı için bugüne kadar kullanılan $\lambda/C = K_c$ $\lambda/W = K_w$ regresyon denklemelerinin yerine kullanılmak üzere endüstriye teklif edilebilir. Bu yeni regresyon denklemelerinin λ_{c_0} , C_0 , λ_{w_0} ve W_0 parametreleri serbest iplik çapı ile orantılıdır. K_c ve K_w katsayıları da relaksasyon ve materyale bağlıdır.

RELAXATION LINES OF WEFT KNITTED FABRICS

It is shown on 19 different kinds of knitted fabrics namely plain, 16 different balanced and unbalanced mxn ribs, 1x1 purl and presser-foot knitted 1x1 rib knitted fabrics, that the regression equations ($\lambda - \lambda_{c_0}$) / ($C - C_0$) = K_c and ($\lambda - \lambda_{w_0}$) / ($W - W_0$) = K_w can be applied to all the weft knitted fabrics. where the variables λ , C and W are the stitch lengths, course-spacings and wale-spacings respectively. The parameters λ_{c_0} , C_0 , λ_{w_0} and W_0 were found to be proportional with the free yarn diameter, do. The parameters K_c and K_w were dependant on the relaxation treatments applied and the materials used.

The regression equations $\lambda/C = K_c$ and $\lambda/W = K_w$, which were given by Munden in 1959, were found to be inaccurate, thus they have been replaced by the above given more accurate new regression equations.

1. GİRİŞ

(Kurbak, 1988)'de düz örgüler üzerine yaptığı bazı araştırmalar verilmiştir. Bunların arasında Munden'in 1959'da verdiği regresyon formülleri olan $\lambda/C = K_c$ ve $\lambda/W = K_w$ eşitlikleri yerine düz örgü ilmik boyutlarını daha hassas hesaplayan $(\lambda - \lambda_{c_0}) / (C - C_0) = K_c$ ve $(\lambda - \lambda_{w_0}) / (W - W_0) = K_w$ regresyon formülleri verilmiştir.

Bu yazımızdaki amaç sadece düz örgü ilmiği için doğruluğu gösterilmiş olan yeni regresyon formüllerinin diğer atkı örgülerini için de geçerli olup olmadıklarını araştırmaktır. Yani, yukarıda ifade edilen yeni regresyon formülleri sadece düz örgü ilmiğine ait bir özellik midir; yoksa bütün atkı örgü türleri için genel bir regresyon formülü midir? Bunun araştırılması bu makalenin amacını oluşturacaktır.

Bu amaç için, (Kurbak, 1988)'de düz örgüler için yapıldığı gibi, $C = A_c + 1/K_c$ ve $W = A_w + 1/K_w$ genel regresyon formüllerinin A ve K sabitleri arasındaki ilişkileri araştırmak biçiminde bir yol izlenecek ve mümkün olduğu kadar çok, deney sonuçlarının yeniden değerlendirilmesi metodu kullanılacaktır. Bir anlamda, daha önceki çalışmaların sonuçları olan A_c , A_w , K_c ve K_w parametreleri bu çalışmanın verilerini oluşturacaktır.

2. "PRESSER-FOOT" (BASKI AYAĞI) SİSTEMİ İLE ÖRÜLEN 1x1 RIB ÖRGÜLERİN SERİ DENEY SONUÇLARININ YENİDEN DEĞERLENDİRİLMESİ

Yazar tarafından, (Kurbak, 1982) ve (Kurbak, 1986)'da anlatılan ve yazar tarafından dizaynı yapılmış olan "Presser-foot" (baskı ayağı) mekanizması kullanılarak bir seri örme deneyi yapılmıştır. Bu deney sonuçlarını buradaki amacımız için yeniden değerlendirelim. Bu deneyler 5 değişik sıklıkta, $E = 10$ numaralı V-yataklı makinada, "presser-foot" sistemi kullanılarak ve 24/2 Ing. kamgarn numara yünlü ve 23/2 Ing. kamgarn numara Akrilik iplikleri ile örülən numunelerde yapıldı. Bu örgüler ölüdüktən sonra, en az 48 saat kuru dinendirilmiş, 24 saat ilk sıcaklığı 50°C olan suda hirpalanmadan tutulup tekrar atmosfer şartlarında kurutulmuş (yaş relaks edilmiş), daha sonra tekrar 24 saat ilk sıcaklığı 50°C olan suda tutulup 1 dakika santrifüjde sıkılmış ve yarı saat 60° sıcaklıkta tamburlu kurutucuda kurutulmuşlardır (tamburlu kurutucuda kurutma relaksyonu).

Sonuçlar; C ile λ arasında ve W ile λ arasında doğrusal ilişkiler vermiş, fakat bilhassa yünlü için $\lambda = 0,74$ (cm)'de bir kırılma gözlenmiştir (11 1/2 skala ayarında). Yünlü için bu noktanın sık ve seyrek tarafları için sırası ile C_1 ve C_2 veya W_1 ve W_2 gibi ayrı ayrı regresyon formülleri bulunmuştur. Bu çalışmanın

(Kurbak, 1982) sonuçları Tablo 1'de verildiği gibidir.

Tablo 1'deki A_C ile $1/K_C$ değerleri arasında akrilik, sık ve seyrek yünü orgülerin hepsi için bir grafik çizersek, Şekil 1'de görüldüğü gibi, (yünü mamüllerin tamburlu kurutucuda kurutma sonuçları hariç), bir doğru elde ederiz. Bu ilişkinin doğrusal regresyon formülü,

$$A_C \doteq 1.3954 - 7.3721 \cdot 1/K_C \quad \dots \dots \dots \quad (1)$$

olarak bulunur. Korelasyon katsayısı da $r_C = 0,988$ gibi çok yüksek bir değere sahiptir.

Diger taraftan yünü 1x1 rib orgülerin Ac ve 1/Kc değerleri arasındaki ilişki, sık ve seyrek orgülerin olmak üzere iki noktadan geçen aşağıdaki gibi bir doğrudur.

$$A_C = 1.2407 - 7.1475 \cdot 1/K_C \quad \dots \dots \dots \quad (2)$$

Tamburlu kurutucuda kurutulmuş 1x1 rib yünlü örme kumaşların, relakse olmak yerine, kumaş boyunca deforme olduğu zaten yazar tarafından ispat edilmişti (Kurbak, 1982).

Diğer taraftan Tablo 1'deki A_W ve $1/K_W$ değerleri arasındaki ilişki Şekil 2'de gösterilmiştir. Burada da Tablo 1'deki bütün değerler için bir doğrusal ilişki yazılabilir. Doğrusal ilişkinin regresyon formülü,

$$A_W = 2.4420 - 7.2464 \cdot 1/K_W \dots \quad (3)$$

olarak elde edilir. Korelasyon katsayısı da yine $r_w = 0.998$ 'le çok yüksektir.

Tablo 1: Presser-foot'la örülen 1x1 Rib Örgü Regresyon Sonuçları (Kurbak, 1982)

| Materyal | Relaksasyon T | C = A _C + 1/K _C · λ | | | W = A _W + 1/k _W · λ | | |
|------------------------------|------------------|-------------------------------------------|----------------|----------------|-------------------------------------------|----------------|----------------|
| | | A _C (mm) | K _C | r _C | A _W (mm) | K _W | r _W |
| Yünlü (sik) λ≤7,4mm | M.K. | -0.656 | 3.5958 | 0.99 | 1.719 | 10.203 | 0.95 |
| | K.D. | -0.615 | 3.6657 | 0.99 | 1.561 | 8.3659 | 0.97 |
| | Y.B. | -0.519 | 3.8655 | 0.99 | 1.169 | 5.9573 | 0.94 |
| | T.K. | -0.296 | 4.6512 | 0.99 | 0.698 | 4.2603 | 0.98 |
| Yünlü (seyrek) λ≥7,4mm | M.K. | -0.368 | 4.2052 | 0.98 | 1.200 | 5.9117 | 0.98 |
| | K.D. | -0.220 | 4.5662 | 0.99 | 0.953 | 4.9288 | 0.98 |
| | Y.B. | 0.033 | 5.4496 | 0.99 | -0.268 | 2.7162 | 0.98 |
| | T.K. | 0.165 | 6.6445 | 0.98 | -0.084 | 2.8846 | 0.99 |
| Akrilik | M.K. | -0.259 | 4.4583 | 0.99 | 1.700 | 9.8049 | 0.99 |
| | K.D. | -0.235 | 4.4944 | 0.99 | 1.479 | 7.4888 | 0.99 |
| | Y.B. | -0.170 | 4.6512 | 0.99 | 0.8056 | 4.3004 | 0.99 |
| | T.K. | -0.078 | 5.0352 | 0.99 | 0.387 | 3.4067 | 0.99 |

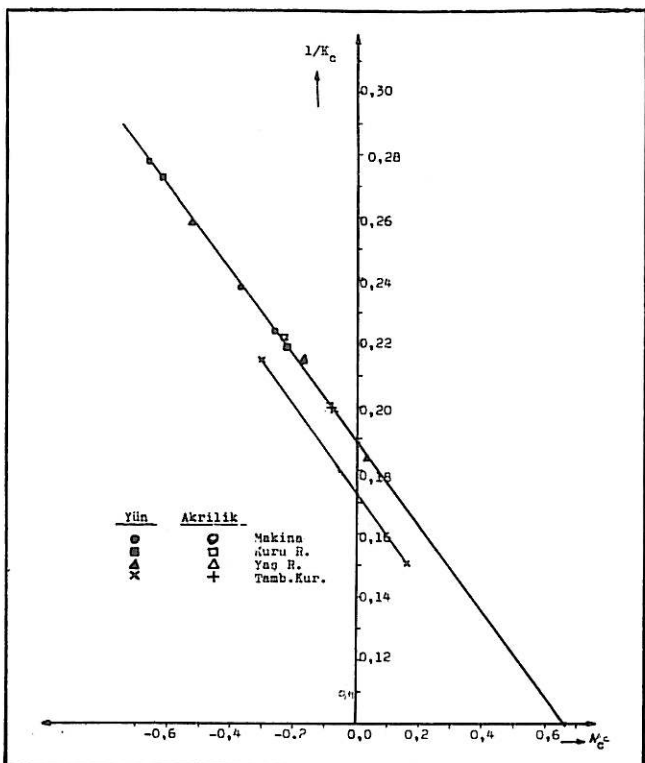
Not: r_C , r_W - Korelasyon katsayıları

MK.- Kumaş makina üzerinde iken yapılan ölçüm sonuçları

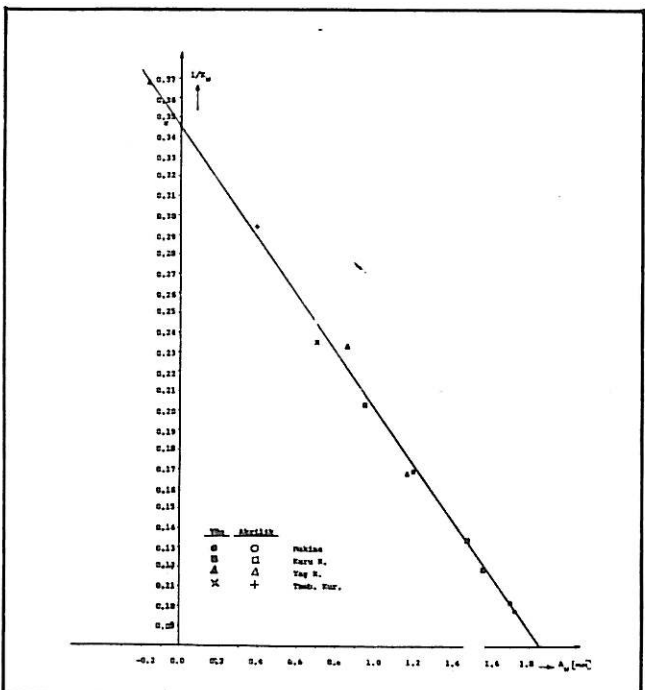
KD.- Kuru dinlendirilmiş numunede ölçüm sonuçları

YB.- Yaş bekletilmiş numunede ölçüm sonuçları

TK.- Tamburda kurutma relaksasyonunda ölçüm sonuçları



Şekil 1. Presser-foot'la örulen 1x1 rib örgüde $1/K_c - A_c$ ilişkisi.



Şekil 2. Presser-foot'la örulen 1x1 rib örgüde $1/K_w - A_w$ ilişkisi

Şekil 2'de akrilik ve yünlü örme kumaşlar için çok az da olsa bir farklılık vardır. Bu farklılık iplik numaraları özellikle birbirine çok yakın seçilmesine rağmen çaplarında ve fiziksel özelliklerinde farklılık olmasından dolayı normaldir.

Burada şuna dikkat çekmek istiyoruz: Formül (1) ve Formül (3) karşılaştırılırsa λ_{c_0} ve λ_{w_0} ilmik uzunlukları (regresyon katsayıları) birbirine çok yakındır. Dolayısı ile bu iki değerin birbirine eşit olması muhtemeldir. Daha önceki bir yazımızda (Kurbak, 1988) normal kumaş çekim sistemi ile (normal örme sistemi ile) örülen düz örgülerde λ_{c_0} ve λ_{w_0} birbirinden çok farklı idi. Bu yazımızda bu farklılığı söyle açıklamıştık: "Normal çekim sistemi ile kuvvet ortadan kalktıktan sonra sıralar arasındaki bağlantı noktaları -iplikler arası sürtünme tarafından engellenmeleri nedeni ile- normal konumlarına gelemezler." (Kurbak, 1988)'de verilen düz örgü ilmik model parametresi bunu tanımlar.) Presser-foot (baskı ayağı) örmeçiliğinde ise örme sırasında örgü boyunca hiçbir kuvvet uygulanmaz. Dolayısı ile sıraların birbiri içine girme miktarı veya ipliklerin takılma bölgeleri normal relakse örgünüklerin aynıdır. Bu durum "presser-foot" sistemi örgülerinde elde edilen λ_{c_0} 'ın λ_{w_0} 'a eşit olmasını açıklar.

2/23 İng. kamgarn numara Akrilik ve 2/24 İng. kamgarn numara yünlü örgü iplikleri için Shinn (1955) formülünden ortalama serbest iplik çapı aşağıdaki gibi bulunabilir;

$$d_0 = 0.044 \sqrt{\text{Tex}} = 0.44 \sqrt{\frac{1000 x^2}{11.5 + 12}} = 0.4059 \text{ (mm)} . \quad (4)$$

Formül 4'de verilen serbest iplik çapı cinsinden formül (1), (2), (3)'ün sabitleri yazılp bu formüller Tablo 1'in üst satırında ifadesi verilen esas regresyon formüllerinde yerlerine konursa aşağıdaki (5), (6) ve (7) regresyon formülleri elde edilir.

$$C = 3,4378 d_0 + 1/K_C (\lambda - 18,1623 d_0) \dots \quad (5)$$

$$C' = 3,0566 d_0 + 1/K_C (\lambda - 17,6090 d_0) \dots \quad (6)$$

$$W = 6,0163 d_0 + 1/K_W (\lambda - 17,8527 d_0) \dots \quad (7)$$

Burada, C tamburlu kurutucuda kurutulmuş yünlü örme kumaşlar haricinde bütün sonuçlardan elde edilmiştir. C' yalnız tamburlu kurutma relaksasyonundaki yünlü 1x1 rib örgü deney sonuçlarıdır.

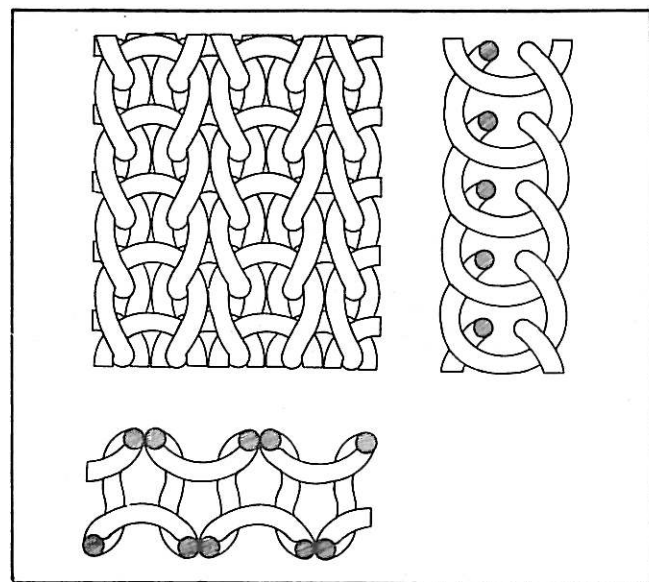
Yukardaki (5), (6) ve (7) formüllerinden de anlaşılabileceği gibi yazar tarafından daha önce (Kurbak, 1988) düz örgüler için teklif edilen yeni regresyon formülleri "Presser-foot" la örülmüş 1x1 rib örgüler için de geçerlidir.

Burada yazar tarafından Doktora tezinde (Kurbak, 1982) genel hatları çizilen ve şu anda geliştirilmekte olan bir 1x1 rib matematiksel ilmik modeli çalışmasından söz etmek yararlı olacaktır. Bu çalışmanın bir sonucu olarak tamamen matematiksel yoldan elde edilmiş çizilen normal 1x1 rib ilmiği Şekil 3'de verilmiştir. Şekil 3 incelenirse, bir 1x1 Rib normal ilmiğinin genişliği 6 iplik çapı kadardır. Burada elde edilen formül (7)'deki W_0 'da 6.0163 do olduğuna göre, formül (7)'nin sabitlerinin tarif ettiği nokta sık ve seyrek örgüleri birbirinden ayıran normal bir 1x1 rib örgüsüne aittir.

Ayrıca; normal örgünün sık tarafında iplik yassılması seyrek tarafında da iplik şişmesi meydana gelir. Bir ipligin yassılma ve şişme karakteristikleri birbirinden farklı olabilir. İşte, yazar tarafından (Kurbak, 1982) elde edilen yünlü kumaşların regresyon doğrularındaki kırılma bu yüzdedir. Enteresandır ki bu kırılma $\lambda = 7,4$ (mm) ilmik uzunlığında oluşmuştur. Bu değer de burada elde edilen λ_{c_0} ve λ_{w_0} değerlerinin aynıdır. Bu da λ_{c_0} ve λ_{w_0} 'ın normal örgüye ait olduğunu başka bir kanıtıdır.

3. KONVANSİYONEL ÇEKİM SİSTEMİ İLE ÖRÜLEN 16 ÇEŞİT RİB ÖRGÜNÜN DENYEY SONUÇLARININ YENİDEN DEĞERLENDİRİLMESİ

Bu yeniden değerlendirme için A. Yağcı'nın (Yağcı, 1986) elde ettiği ve daha sonra Yağcı ve Kurbak tarafından 1988'de yayınlanan deney sonuçlarından yararlanacağız. Deney şartları



Şekil 3: Matematiksel Olarak Hesaplanıp Çizilen 1x1 Rib Örgü Şekli

(KURBAK, A., Yayınlanmamış Araştırma Sonucu)

- a) Önden görünüş
 - b) Çubuk boyunca kesit görünüşü
 - c) Sıra boyunca kesit görünüşü

hakkında ayrıntılı bilgi bu bahsedilen kaynaklarda verilmiştir. Kısaca özetlersek; bu deneyler 1×1 , 2×2 , 3×3 , 4×4 ve 5×5 dengeli rib örgüleri ve 2×1 , 3×1 , 4×1 , 5×1 , 3×2 , 4×2 , 5×2 , 4×3 , 5×3 , 5×4 dengesiz rib örgülerini kapsamaktadır. Her örgü türü için istisnalar dışında 5 ayrı sıklıkta numune örülmüştür. Deneyler yünlü, pamuklu ve orlon için tekrar edilmiştir. Numuneler örüldükten sonra (Kurbak 1982)'de olduğu gibi (bir önceki bölümde ifadesi verildi) kuru ve yaş relakse edilmiştir. Daha sonra (tamburlu kurutucu Türkiye'de yaygın olmadığı için) yarımsaat yıkama relaksasyonu uygulanmıştır.

Yukarıdaki çalışmanın en önemli bulgusu, ilmik uzunluğu aynı olan bütün konvansiyonel sistemle örülümiş rib örgülerin sıra açıkları arasında deneysel olarak tesbit edilebilecek bir farklılık olmamasıdır. Dolayısı ile bütün rib çeşitleri için her malzeme ile ve her relaksasyon durumunda birer tane olmak üzere C ile λ arasında toplam 9 tane relaksasyon doğrusu elde edilmiştir. Bu doğruların A_c ve $1/K_c$ değerleri Tablo 2'de verildiği gibidir.

Tablo 2: Konvansiyonel örgüde C ile λ arasındaki regresyon doğruları (Yağcı, 1986)

| Malzeme | Relaksasyon Durumu | $C = A_c + 1/K_c \cdot \lambda$ | | r_c |
|---------|--------------------|---------------------------------|-------|-------|
| | | A_c (mm) | K_c | |
| Yünlü | Kuru Relaksasyon | -0.356 | 3.704 | 0.992 |
| | Yaş Relaksasyon | -0.270 | 4.149 | 0.994 |
| | Yıkama Relaksasyon | 0.081 | 5.917 | 0.988 |
| Akrilik | Kuru Relaksasyon | -0.368 | 3.636 | 0.982 |
| | Yaş Relaksasyon | -0.282 | 3.937 | 0.985 |
| | Yıkama Relaksasyon | -0.265 | 4.016 | 0.989 |
| Pamuk | Kuru Relaksasyon | -0.750 | 2.967 | 0.988 |
| | Yaş Relaksasyon | -0.293 | 4.329 | 0.981 |
| | Yıkama Relaksasyon | -0.148 | 5.000 | 0.988 |

Tablo 2'deki değerlerle A_C ile $1/K_C$ arasında bir grafik çizilirse, Şekil 4'den de görüleceği gibi, yine bir doğru elde edilir. Tabii, doğru etrafında deney sonuçlarının dağılması burada daha fazladır. Bunun nedeni, bu doğruların 16 çeşit Rib örgünün sonuçları olmasıdır. Deneysel olarak fark görülmez, ama teorik olarak çok az da olsa değişik rib örgütlerinin ilmik boyalarında farklılık vardır.

Şekil 4'deki A_C ile $1/K_C$ arasındaki doğrusal ilişkinin regresyon analiz sonuçları;

şeklinde verilebilir. Bu ilişkinin korelasyon kat-
sayısı, $r_C = 0,971$ gibi yüksek bir değerdedir.

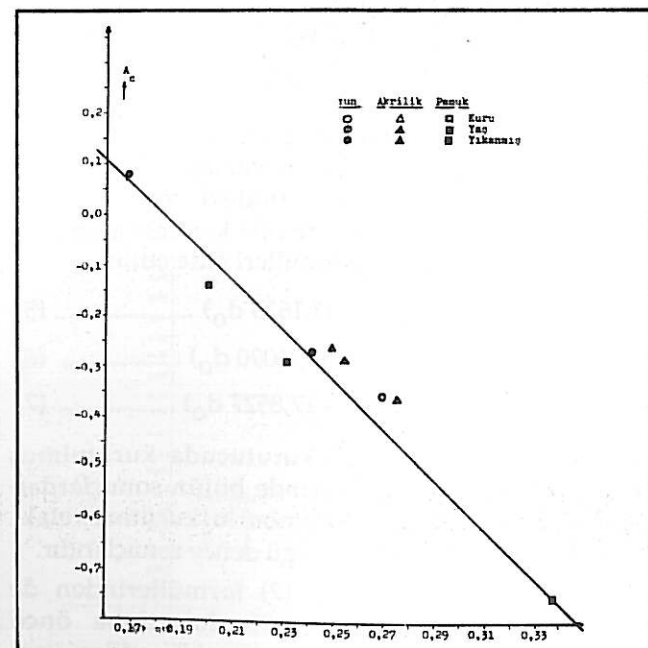
Yağcı (1986)'nın kullandığı 2/28 Nm yün, 2/28 Nm akrilik ve 2/16 Ne pamuk ipliklerinin iplik numaları özellikle birbirine yakın seçilmiştir. Shinn (1955) formülünden bu iplikler için hesaplanan ortalama serbest iplik çapı

$$d_0 = 0.044 \cdot \sqrt{\frac{1000}{14}} = 0.3719 \text{ (mm)} \quad \dots \dots \dots \quad (9)$$

dir. (8) formülünün sabitleri formül (9)'daki serbest iplik çapı cinsinden yazıp Tablo 2'nin baş kısmında yer alan esas regresyon formülünde yerine konursa (10) formülü elde edilir.

Bu sonuçla bütün 16 çeşit rib örgünün sıra açıklıklarını formül (10)'la ifade etmiş oluyoruz. Yalnız, formül (10)'daki K_c değerleri malzemeye ve relaksasyona bağlıdır ve Tablo 2'den alınacaktır.

Diger taraftan, Yağcı (1986)'nin ilmik genişliği ile ilgili deneysel sonuçları, ilmik genişliğinin (çubuk açıklığı = W) materyal ve relaksasyon durumunun yanı sıra örgü çeşidine de bağlı olduğunu göstermiştir. Bu sonuçlar Tablo 3'de verildiği gibi yine doğrusal ilişkiler şeklinde dir.



Şekil 4: Bütün Dengeli ve Dengesiz m_{xn} Rib örgülerde $A_c - 1/K_c$ → $1/K_c$ ilişkisi

Tablo 3: Konvarsiyonel Örgüde W ile λ arasındaki regresyon doğruları (Yağcı, 1986)

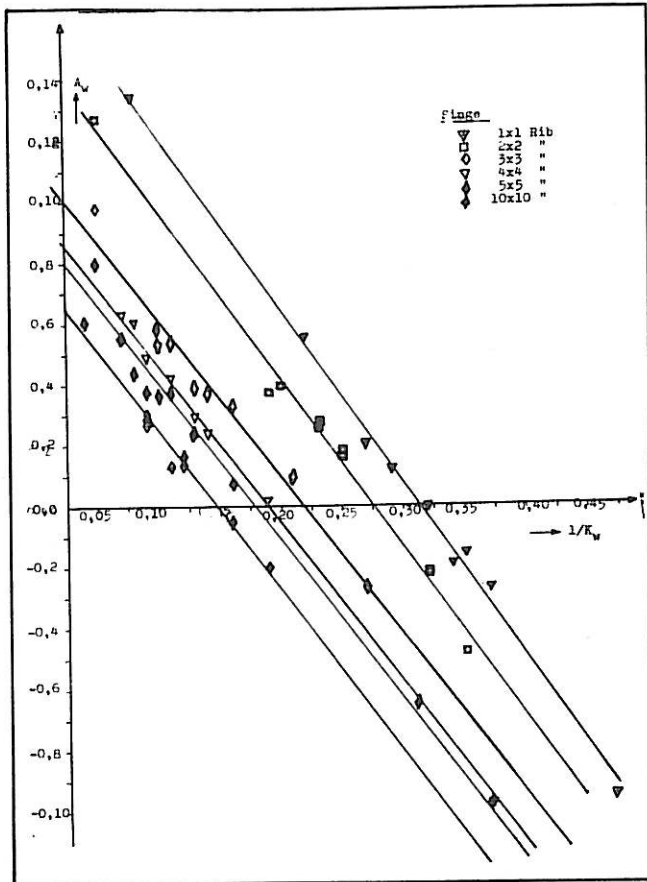
| Örgü Çeşidi | Malz. | Relaksasyon | | $W = A_w + 1/K_w \lambda$ | | |
|----------------|---------|-------------|----------------|---------------------------|----------------|--|
| | | Durumu | A _w | K _w | r _w | |
| 1x1 Rib | Yünlü | Kuru | 0.554 | 4.568 | 0.979 | |
| | | Yaş | -0.006 | 3.105 | 0.984 | |
| | | Yıkamış | 0.200 | 3.668 | 0.991 | |
| | Akrilik | Kuru | -0.169 | 2.904 | 0.985 | |
| | | Yaş | -0.271 | 2.709 | 0.991 | |
| | | Yıkamış | -0.162 | 2.840 | 0.992 | |
| | Pamuk | Kuru | 1.336 | 12.835 | 0.957 | |
| | | Yaş | 0.120 | 3.489 | 0.954 | |
| | | Yıkamış | -0.954 | 2.139 | 0.967 | |
| 2x2 Rib | Yünlü | Kuru | 0.256 | 4.318 | 0.989 | |
| | | Yaş | 0.163 | 4.078 | 0.994 | |
| | | Yıkamış | -0.216 | 3.149 | 0.995 | |
| | Akrilik | Kuru | 0.387 | 4.948 | 0.989 | |
| | | Yaş | 0.268 | 4.423 | 0.990 | |
| | | Yıkamış | 0.182 | 4.057 | 0.991 | |
| | Pamuk | Kuru | 1.266 | 19.760 | 0.684 | |
| | | Yaş | 0.372 | 5.063 | 0.979 | |
| | | Yıkamış | -0.481 | 2.819 | 0.977 | |
| 3x3 Rib | Yünlü | Kuru | 0.539 | 8.812 | 0.979 | |
| | | Yaş | 0.321 | 6.154 | 0.991 | |
| | | Yıkamış | -0.271 | 3.606 | 0.992 | |
| | Akrilik | Kuru | 0.543 | 9.747 | 0.989 | |
| | | Yaş | 0.393 | 7.558 | 0.993 | |
| | | Yıkamış | 0.373 | 7.013 | 0.998 | |
| | Pamuk | Kuru | 0.981 | 21.110 | 0.932 | |
| | | Yaş | 0.583 | 9.488 | 0.991 | |
| | | Yıkamış | 0.088 | 0.207 | 0.997 | |
| 4x4 Rib | Yünlü | Kuru | 0.491 | 11.334 | 0.977 | |
| | | Yaş | 0.227 | 7.032 | 0.979 | |
| | | Yıkamış | 0.018 | 5.328 | 0.995 | |
| | Akrilik | Kuru | 0.628 | 14.450 | 0.949 | |
| | | Yaş | 0.488 | 10.503 | 0.962 | |
| | | Yıkamış | 0.422 | 9.422 | 0.984 | |
| | Pamuk | Kuru | 0.598 | 12.753 | 0.967 | |
| | | Yaş | 0.294 | 7.740 | 0.994 | |
| | | Yıkamış | -0.975 | 2.695 | 0.969 | |
| 5x5 Rib | Yünlü | Kuru | 0.443 | 11.973 | 0.983 | |
| | | Yaş | 0.236 | 7.764 | 0.992 | |
| | | Yıkamış | 0.071 | 6.039 | 0.997 | |
| | Akrilik | Kuru | 0.560 | 14.93 | 0.964 | |
| | | Yaş | 0.382 | 10.034 | 0.964 | |
| | | Yıkamış | 0.374 | 9.606 | 0.966 | |
| | Pamuk | Kuru | 0.786 | 20.521 | 0.975 | |
| | | Yaş | 0.383 | 8.826 | 0.996 | |
| | | Yıkamış | -0.647 | 3.241 | 0.913 | |
| | Yünlü | Kuru | 0.275 | 11.287 | 0.998 | |
| | | Yaş | 0.144 | 8.264 | 0.996 | |
| | | Yıkamış | -0.216 | 5.230 | 0.972 | |

Tablo 3'ün Devamı

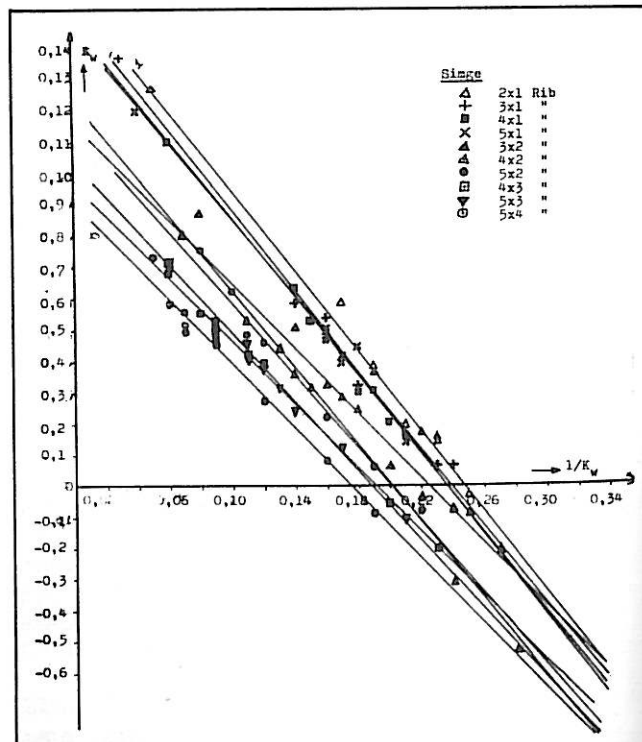
| 10x10 Rib | Akrilik | Kuru | 0.287 | 11.400 | 0.995 | |
|--------------|---------|---------|--------|--------|-------|--|
| | | Yaş | 0.133 | 8.688 | 0.987 | |
| | | Yıkamış | 0.164 | 8.518 | 0.998 | |
| 2x1 Rib | Pamuk | Kuru | 0.610 | 22.422 | 0.960 | |
| | | Yaş | 0.300 | 10.799 | 0.985 | |
| | | Yıkamış | -0.053 | 5.984 | 0.887 | |
| 3x1 Rib | Yünlü | Kuru | 0.579 | 6.031 | 0.986 | |
| | | Yaş | 0.364 | 5.208 | 0.997 | |
| | | Yıkamış | 0.151 | 4.427 | 0.995 | |
| 4x1 Rib | Akrilik | Kuru | 0.382 | 5.379 | 0.998 | |
| | | Yaş | 0.140 | 4.413 | 0.999 | |
| | | Yıkamış | 0.174 | 4.517 | 0.996 | |
| 5x1 Rib | Pamuk | Kuru | 1.275 | 21.896 | 0.846 | |
| | | Yaş | 0.195 | 4.854 | 0.981 | |
| | | Yıkamış | -0.029 | 4.037 | 0.996 | |
| 3x2 Rib | Yünlü | Kuru | 0.533 | 6.277 | 0.996 | |
| | | Yaş | 0.311 | 5.388 | 0.993 | |
| | | Yıkamış | 0.106 | 4.437 | 0.998 | |
| Akrilik | Kuru | 0.481 | 6.079 | 0.991 | | |
| | | Yaş | 0.324 | 5.420 | 0.994 | |
| | | Yıkamış | 0.311 | 5.294 | 0.995 | |
| Pamuk | Kuru | 1.370 | 38.730 | 0.530 | | |
| | | Yaş | 0.586 | 7.163 | 0.973 | |
| | | Yıkamış | 0.058 | 4.243 | 0.986 | |
| Yünlü | Akrilik | 0.634 | 6.964 | 0.994 | | |
| | | Yaş | 0.167 | 4.715 | 0.991 | |
| | | Yıkamış | 0.198 | 4.892 | 0.999 | |
| Pamuk | Kuru | 0.299 | 5.379 | 0.979 | | |
| | | Yaş | 0.296 | 5.513 | 0.994 | |
| | | Yıkamış | 0.151 | 4.751 | 0.991 | |
| Yünlü | Pamuk | 1.104 | 16.567 | 0.983 | | |
| | | Yaş | 0.517 | 6.789 | 0.994 | |
| | | Yıkamış | 0.161 | 4.708 | 0.993 | |
| Akrilik | Kuru | 0.440 | 5.556 | 0.998 | | |
| | | Yaş | 0.311 | 5.400 | 0.998 | |
| | | Yıkamış | 0.144 | 4.642 | 0.996 | |
| Pamuk | Kuru | 0.503 | 6.456 | 0.998 | | |
| | | Yaş | 0.469 | 6.317 | 1.000 | |
| | | Yıkamış | 0.387 | 5.767 | 0.999 | |
| Yünlü | Akrilik | 1.203 | 22.946 | 0.950 | | |
| | | Yaş | 0.414 | 5.970 | 0.977 | |
| | | Yıkamış | 0.394 | 5.917 | 0.998 | |
| 3x2 Rib | Yünlü | 0.238 | 5.647 | 0.988 | | |
| | | Yaş | -0.060 | 4.202 | 0.985 | |
| | | Yıkamış | -0.213 | 3.752 | 0.984 | |
| Akrilik | Kuru | 0.312 | 6.468 | 0.994 | | |
| | | Yaş | 0.322 | 6.223 | 0.966 | |
| | | Yıkamış | 0.285 | 5.784 | 0.992 | |
| Pamuk | Kuru | 0.873 | 13.099 | 0.974 | | |
| | | Yaş | 0.497 | 7.231 | 0.998 | |
| | | Yıkamış | -0.094 | 4.058 | 0.995 | |

Tablo 3'ün Devamı

| | | | | | |
|---------|---------|---------|--------|--------|-------|
| 4x2 Rib | Yünlü | Kuru | 0.523 | 9.166 | 0.997 |
| | | Yaş | 0.350 | 7.309 | 1.000 |
| | | Yıkamış | -0.042 | 4.593 | 0.995 |
| 5x2 Rib | Akrilik | Kuru | -0.308 | 4.144 | 0.978 |
| | | Yaş | -0.540 | 3.627 | 0.976 |
| | | Yıkamış | -0.534 | 3.575 | 0.973 |
| | Pamuk | Kuru | 0.803 | 14.108 | 0.907 |
| | | Yaş | 0.427 | 7.874 | 0.991 |
| | | Yıkamış | 0.060 | 5.048 | 0.951 |
| 4x3 Rib | Yünlü | Kuru | 0.481 | 8.718 | 0.994 |
| | | Yaş | 0.221 | 6.203 | 0.993 |
| | | Yıkamış | -0.086 | 4.523 | 0.992 |
| | Akrilik | Kuru | 0.621 | 10.136 | 0.997 |
| | | Yaş | 0.463 | 8.467 | 0.978 |
| | | Yıkamış | 0.457 | 8.163 | 0.990 |
| | Pamuk | Kuru | 0.750 | 13.254 | 0.930 |
| | | Yaş | 0.447 | 8.340 | 0.980 |
| | | Yıkamış | 0.060 | 5.219 | 0.974 |
| 5x3 Rib | Yünlü | Kuru | 0.483 | 11.254 | 0.995 |
| | | Yaş | 0.453 | 9.311 | 0.987 |
| | | Yıkamış | -0.066 | 4.948 | 0.994 |
| | Akrilik | Kuru | 0.548 | 12.770 | 0.993 |
| | | Yaş | 0.494 | 10.707 | 0.989 |
| | | Yıkamış | 0.391 | 8.658 | 0.997 |
| | Pamuk | Kuru | 0.676 | 16.415 | 0.939 |
| | | Yaş | 0.417 | 8.764 | 0.980 |
| | | Yıkamış | -0.120 | 4.312 | 0.951 |
| 5x4 Rib | Yünlü | Kuru | 0.515 | 11.202 | 0.974 |
| | | Yaş | 0.223 | 6.983 | 0.991 |
| | | Yıkamış | -0.110 | 4.808 | 0.980 |
| | Akrilik | Kuru | 0.449 | 9.294 | 0.943 |
| | | Yaş | 0.368 | 8.299 | 0.994 |
| | | Yıkamış | 0.306 | 7.564 | 0.973 |
| | Pamuk | Kuru | 0.710 | 15.676 | 0.963 |
| | | Yaş | 0.402 | 8.873 | 0.979 |
| | | Yıkamış | 0.123 | 6.042 | 0.965 |



Şekil 5a. Dengeli mxm Rib örgülerde $A_w - 1/K_w$ ilişkisi



Şekil 5b. Dengesiz mxn rib örgülerde $A_w - 1/K_w$ ilişkisi

Tablo 3'de $9 \times 16 = 144$ tane regresyon formülü vardır. Her örgü çeşidi için ayrı olmak üzere A_w ile $1/K_w$ arasında 16 değişik grafik çizmek gereklidir. Hepsini ayrı ayrı çizmek yerine mxm dengeli rib yapıları için A_w ile $1/K_w$ arasındaki ilişki Şekil 5a'da, dengesiz Rib yapıları (mxn) için Şekil 5b'de gösterilmiştir. Bu ilişkiler görüldüğü gibi yine doğrusaldır.

Şekil 5a ve Şekil 5b'de görülen doğrusal ilişkilerin regresyon analizleri yapılmış ve korelasyon katsayıları ile birlikte Tablo 4'de verilmiştir.

Tablo 4: Rib örgülerin Aw katsayıları ile 1/Kw katsayıları arasındaki regresyon formülleri

| Örgü Çeşidi | $A_w = W_o - \lambda_{W_o} \cdot 1/K_w \rightarrow C = W_o + 1/K_w \cdot (\lambda - \lambda_{W_o})$ | | | | | |
|----------------|-----------------------------------------------------------------------------------------------------|-----------|-------------------------|---------------------|-------|-------------|
| | W_o (mm) | W_o/d_o | λ_{W_o} (mm) | λ_{W_o}/d_o | r_w | For. No. |
| 1x1 Rib | 1,80 | 4,8400 | 5,75 | 15,4611 | 0,998 | (11) |
| 2x2 Rib | 1,54 | 4,1409 | 5,62 | 15,1116 | 0,998 | (12) |
| 3x3 Rib | 1,13 | 3,0385 | 5,15 | 13,8478 | 0,991 | (13) |
| 4x4 Rib | 0,988 | 2,6566 | 5,28 | 14,1974 | 0,999 | (14) |
| 5x5 Rib | 0,933 | 2,5087 | 5,19 | 13,9554 | 0,993 | (15) |
| 10x10 Rib | 0,78 | 2,0973 | 5,25 | 14,1167 | 0,988 | (16) |
| 2x1 Rib | 1,59 | 4,2753 | 6,45 | 17,3480 | 0,996 | (17) |
| 3x1 Rib | 1,51 | 4,0602 | 6,31 | 16,9669 | 0,998 | (18) |
| 4x1 Rib | 1,48 | 3,9796 | 6,29 | 16,9131 | 0,995 | (19) |
| 5x1 Rib | 1,46 | 3,9258 | 6,13 | 16,4829 | 0,993 | (20) |
| 3x2 Rib | 1,24 | 3,3342 | 5,53 | 14,8696 | 0,994 | (21) |
| 4x2 Rib | 1,24 | 3,3342 | 6,28 | 16,8863 | 0,995 | (22) |
| 5x2 Rib | 1,16 | 3,1191 | 5,72 | 15,3805 | 0,997 | (23) |
| 4x3 Rib | 0,968 | 2,6028 | 5,05 | 13,5789 | 0,997 | (24) |
| 5x3 Rib | 1,04 | 2,7964 | 5,57 | 14,9771 | 0,998 | (25) |
| 5x4 Rib | 0,909 | 2,4442 | 5,18 | 13,9285 | 0,993 | (26) |
| Düz örgü | 1,55 | 4,1678 | 6,31 | 16,9669 | 0,975 | (27) |

Formül (10)'daki λ_{C_0} ile Tablo 4'deki λ_{W_o} 'lar birbirlerinden farklıdır. Bunun sebenini ikinci bölümde açıklamıştık.

Tablo 4'deki r_w korelasyon katsayıları da çok yüksektir. Dolayısı ile yeni teklif ettiğimiz regresyon $(\lambda - \lambda_{C_0})/(C - C_0) = K_C$ ve $(\lambda - \lambda_{W_o})/(W - W_0) = K_W$ (konvansiyonal kumaş çekim sistemi ile örülən) tüm rib örgüleri için de geçerlidir.

4. 1x1 HAROŞA ÖRGÜLERİN SERİ DENYEY SONUÇLARININ YENİDEN DEĞERLENDİRİLMESİ

1x1 haroşa örgüsü, çift kancalı iğne ile, çift yataklı makinada iğnelerin her sıra için arka yataktan ön yatağa ve ön yataktan arka yatağa transferi ile elde edilir. 1x1 Haroşa örgünün şematik görünüsü Şekil 6'da verilmiştir.

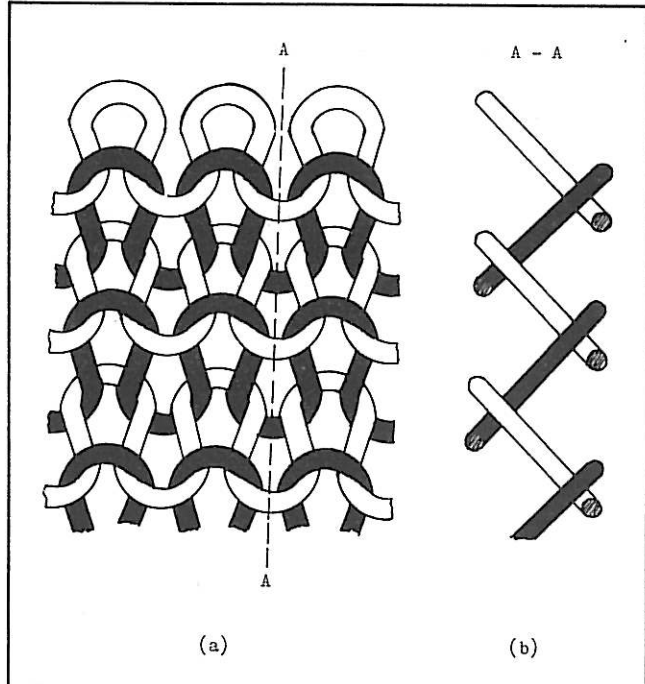
H. Fiçicilar'ın yazarın yönetiminde haroşa örgülerin boyutsal özellikleri üzerine yaptığı tez çalışmasında (Fiçicilar, 1987) elde edilen sonuçları buradaki amacımız için kullanalım.

Fiçicilar, Yağcı (1986)'da kullanılan aynı 2/28 Nm yün, 2/28 Nm orlon ve 2/16 Ne pamuk ipliklerini kullandı ve Arzu Yağcı'nın uyguladığı aynı relaksasyon yöntemlerini uyguladı. Bu deneyler 5 ayrı sıklık ayarında 10 numaralı haroşa makinasında gerçekleştirildi.

Fiçicilar'ın deney sonuçları da C ile λ ve W ile λ arasında doğrusal ilişkiler olduğunu göstermektedir. Regresyon analizi sonuları Tablo 5'de verildiği gibidir.

Tablo 5: Haroşa Örgüsü Regresyon Analiz Sonuçları (Fiçicilar, 1987)

| Mater- yal | Relaksas- yon Duru. | $C = A_c + 1/K_c \cdot \lambda$ | | $W = A_w + 1/K_w \cdot \lambda$ | |
|---------------|------------------------|---------------------------------|--------|---------------------------------|---------|
| | | A_c (mm) | K_c | r_c | A_w |
| Yünlü | Kuru | -0,1616 | 6,5445 | 0,999 | -0,4558 |
| | Yaş | -0,4023 | 5,4252 | 0,997 | -0,0953 |
| Akrilik | Yikanmış | 0,029 | 8,9380 | 0,983 | 0,9267 |
| | Kuru | 0,1964 | 8,7497 | 0,998 | -0,5853 |
| Pamuk | Yaş | -0,3575 | 5,8079 | 0,957 | -0,3704 |
| | Yikanmış | -0,3925 | 5,4595 | 1,00 | -0,5842 |
| Kuru | Kuru | -0,8895 | 3,968 | 0,949 | 0,7503 |
| | Yaş | -0,6261 | 4,2328 | 0,976 | 0,2606 |
| | Yikanmış | -0,7283 | 4,500 | 0,988 | 0,2440 |



Şekil 6. Haroşa örgüsü (a) ve çubuk doğrultusunda kesit görünümü (b).

Tablo 5'deki A_c ile $1/K_c$ arasındaki bağıntı Şekil 7'de ve A_w ile $1/K_w$ arasındaki bağıntı da Şekil 8'de gösterilmiştir. Her iki sekilden de anlaşılabileceği gibi yine doğrusal ilişkiler yazılabılır.

Bu ilişkilerin regresyon analizleri yapılmış ve aşağıdaki gibi formüle edilmiştir.

$$A_C = 0,877 - 6,89 \frac{1}{K_C}, \quad (r_w = 0,979) \dots \quad (11)$$

$$A_W = 1,55 - 6,13 \cdot 1/K_W, \quad (r_W = 0,986) \quad \dots \dots \dots \quad (12)$$

(11) ve (12) formüllerinin sabitleri formül (9)'daki serbest iplik çapı cinsinden yazılır, esas regresyon formülünde yerine konursa,

$$C = 2,3582 \ d_0 + 1/K_C (\lambda - 18,5265 \ d_0) \dots \dots \dots \quad (13)$$

$W = 4,1678 d_0 + 1/K_W (\lambda - 16,4829 d_0)$ (14)
regresyon formülleri elde edilir.

Göründüğü gibi haroşa gibi ilmkileri düzlemsel olan (Şekil 6) bir örgüde de yeni regresyon formülleri geçerlidir.

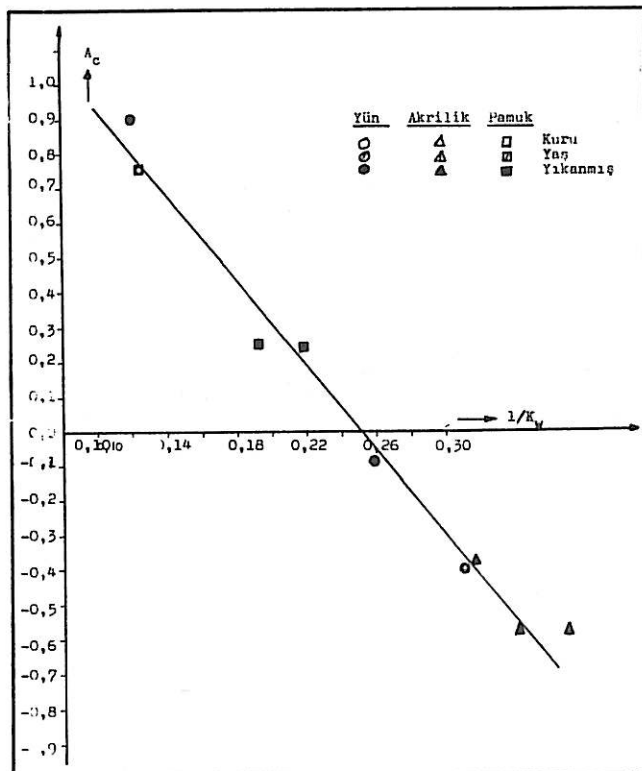
5. SONUÇLAR

Tek katlı örgü olan düz örgüde, çift katlı dengeli ve dengesiz 16 çeşit rib örgüde, ilmkileri düzlemsel olan haroşa örgüde ve örme sistemi farklı olan "Presser-foot" (baskı ayağı) 1x1 rib örgüsünde olmak üzere toplam 19 çeşit atkı örgüsünde gösterilmiştir ki atkı örgülerinin tümünde sıra açıkları (C) ile ilmk uzunlukları (λ) arasında $(\lambda - \lambda_{c_0}) / (C - C_0) = K_c$ ve çubuk açıklıkları (W) ile ilmk uzunlukları (λ) arasında $(\lambda - \lambda_{w_0}) / (W - W_0) = K_w$ regresyon formüllerini yazılabilir. Bu yeni bağıntılar, Munden'in 1959'da verildiği ve ilmk boyutlarını hatalı hesapladığı bilindiği halde alternatif olmadığı için bugüne kadar kullanılagelen $\lambda/C = K_c$ ve $\lambda/W = K_w$ regresyon formüllerinin yerine kullanılmak üzere endüstriye teklif edilebilir. Bu yeni regresyon formüllerinin λ_{c_0} , C_0 , λ_{w_0} ve W_0 parametreleri serbest ilmk çapı ile orantılıdır. K_c ve K_w katsayıları da relaksasyon ve materyale bağlıdır.

KAYNAKÇA

- FIÇICILAR, H., (1987), Lisans Tezi, E.Ü. Mühendislik Fakültesi Tekstil Mühendisliği Bölümü, IZMİR
 - KURBAK, A., (1982), Ph.D. Thesis, The University of Leeds.
 - KURBAK, A., (1986), 4. International Tekstil Sempozyumu, Altınyunus-Çeşme-İZMİR. (E.Ü. Mühendislik Fakültesi Yayınları).
 - KURBAK, A., (1988), E.Ü. Mühendislik Fakültesi Dergisi, Seri D, Tekstil Mühendisliği (yayınlanacak).
 - MUNDEN, D.L., (1959), J.T.I., 50, T448.
 - SHINN, W.E., (1959), Text. Res. Jour., 25, 270.
 - YAĞCI, A., (1986), Yüksek Lisans Tezi, E.Ü. Mühendislik Fakültesi Tekstil Mühendisliği Bölümü, Izmir.
 - YAĞCI, A., ve KURBAK, A., (1988), Tekstil ve Teknik Dergisi, (baskıda).

Şekil 7. Haroşa örgüsünde $A_c - 1/K_c$ ilişkisi



Şekil 8. Haroşa örgüsünde A_w^{-1}/K_w ilişkisi